

А.К. Коваль, В.Д. Миронов

СО₂-ЛАЗЕР С УПРАВЛЯЕМЫМ СПЕКТРОМ ГЕНЕРАЦИИ ДЛЯ ТРАССОВОГО ГАЗОАНАЛИЗАТОРА ДИФФЕРЕНЦИАЛЬНОГО ПОГЛОЩЕНИЯ

Статья посвящена исследованию метода управления спектром СО₂-лазера, основанному на конкуренции колебательно-вращательных линий и зависимости автографа лазера от длины резонатора. Рассмотренный метод позволяет более полно использовать энергетические возможности активной среды. Проведено теоретическое и экспериментальное исследование диапазона устойчивости автографа лазера и получено хорошее согласие результатов. Сообщается о конструкции лазера с управляемым спектром генерации (ЛУС) и его приложении для атмосферной спектрометрии дифференциального поглощения.

Широкое применение СО₂-лазеров в качестве источников излучения в трассовых и дистанционных лазерных газоанализаторах дифференциального поглощения (ЛГА ДП) определяется возможностью получения генерации в широком спектральном интервале (9,0–11,4 мкм с учетом изотопических модификаций молекулы СО₂), совпадающем с окном прозрачности атмосферы, наличием резонансов поглощения с рядом практически важных газов-загрязнителей. В последнее время интерес к применению СО₂-лазеров в газоанализе стимулируется появлением высокоеффективных нелинейных материалов, позволяющих синтезировать новые частоты, перекрывающие значительную часть средней ИК-области спектра [1].

В статье сообщается о разработке СО₂-лазера с управляемым спектром генерации (ЛУС), позволяющим получать одно-, двух- и трехволновые режимы генерации на соседних линиях. Основное внимание уделено описанию работы ЛУС в двухвольновом режиме, представляющем интерес для применения в ЛГА ДП.

В ЛУС использован один из наиболее простых в техническом отношении и перспективных способов получения двухвольнового потока излучения — переключение линий генерации при периодической модуляции длины резонатора L с амплитудой $a \leq \lambda/4$, причем равенство мощностей излучения на двух линиях поддерживается системой АПЧ, сигнал пробного воздействия которой служит для переключения линий [2].

Для практического использования двухвольнового переключаемого режима в ЛГА ДП в лазере должен быть реализован двухвольновый автограф, свободный от примесей излучения других линий и устойчивый к изменениям длины резонатора. Формирование автографа, под которым мы, как это принято в литературе, понимаем последовательность линий, наблюдаемую при изменении L на величину $\lambda/2$, происходит под воздействием двух факторов: конкуренции линий и взаимного положения частот линий относительно спектра мод резонатора [3–6].

Обычно в СО₂-лазерах с дисперсионными резонаторами при высоких уровнях превышения усиления над потерями η условие самовозбуждения выполняется для нескольких линий. В этих условиях для получения двухвольнового автографа нужно найти такую длину резонатора, чтобы для всех линий, лежащих выше порога возбуждения, отстройки центров линий от соответствующих мод резонатора $\omega(J) = v(J) - m_J \Delta$ принимали два значения ω_1 и ω_2 , где $v(J)$ — частота центра линии, m_J — индекс продольной моды, $\Delta = c/2L$ — межмодовый интервал резонатора, $\Delta > \omega(J) \geq 0$. В этом случае все линии разбиваются на две группы с равными или близкими отстройками, и при достаточно жесткой конкуренции в каждой группе будет генерировать только линия с наибольшим η . Необходимая длина резонатора определяется соотношением [6]:

$$L = (q_0 - r/p)L_2 + \delta L_2 = (Q - q/p)L_1 + \delta L_1, \quad (1)$$

где целые числа Q и q_0 приближенно выражают L в величинах периодов L_1 и L_2 , а p , $0 \leq r < p$ и $0 \leq q < p$ определяют число линий в автографе и их размещение по группам. Малые поправки $|\delta L_1| < \lambda/2$ и $|\delta L_2| < L_1$ учитывают приближенный характер модели. Двухвольновые автографы реализуются при выборе $p = 2, 3, 4$. Мы ограничимся случаем $p = 2$, т.к. только в этом случае взаимная отстройка групп $\Omega = \omega_1 - \omega_2 = \Delta/2$, что обеспечивает равномерное размещение линий в автографе, наиболее удобное для практических применений.

Периоды L_1 и L_2 определяются относительно базисной линии с вращательным квантовым числом J_0 , выбранной из числа наиболее усиливающих линий при спектральном распределении усиления и потерь в конкретном лазере. В табл. 1 приведены значения периодов для наиболее распространенных симметричных изотопических модификаций молекулы СО₂. Расчеты проведены на основании частот переходов, приведенных в [7], в качестве базисных линий выбраны $P(20)$ и $R(16)$.

Таблица 1

Периоды L_1 и L_2 (в мм) для наиболее распространенных изотопических модификаций молекулы CO_2

Изотопическая модификация	Переход	P -ветвь		R -ветвь	
$^{12}\text{C}^{16}\text{O}_2$	00^01-10^00	2,761	203,7	3,750	200,6
	00^01-02^00	2,728	193,3	3,803	188,1
$^{13}\text{C}^{16}\text{O}_2$	00^01-10^00	2,843	255,6	3,633	249,9
	00^01-02^00	2,690	177,0	3,863	172,6
$^{12}\text{C}^{18}\text{O}_2$	00^01-10^00	3,010	188,0	4,374	185,8
	00^01-02^00	3,157	263,8	4,147	256,9

При $p = 2$ принадлежность линий с вращательным квантовым числом J к одной из групп автографа определяется формулой

$$\frac{\omega(J)}{\Delta} = \left\{ q \frac{J - J_0}{4} + r \frac{(J - J_0)(J - J_0 - 2)}{16} \right\}, \quad (2)$$

где фигурными скобками обозначена дробная часть числа; r и q равны 0 или 1. Для группы, содержащей базисную линию, $\omega_1 = 0$, для другой группы $\omega_2/\Delta = 1/2$.

При значении длины резонатора $L_{\text{одн}} \approx q_0 L_2$, отвечающем $r = 0$, $q = 0$ в (1) и равном 81,6 см для конструкции ЛУС при работе на линиях центра P -ветви перехода 00^01-10^00 $^{12}\text{C}^{16}\text{O}_2$, наблюдается одноволновой режим. При отстройке от $L_{\text{одн}}$ на величину $L_1/2$, равную 1,4 мм для P -ветви основной изотопической модификации молекулы CO_2 , можно наблюдать двухволновой автограф, соответствующий значениям $r = 0$, $q = 1$, в котором соседние линии попадают в различные группы. Изменяя длину на $L_2/2 \sim 10,2$ см ($r = 1$), можно получить два двухволновых автографа с парным чередованием линий в группах, различающихся по длине на $L_1/2$. Размещение линий в группах двухволновых автографов приведено в табл. 2, $\kappa = \pm 1, \pm 2, \dots$.

При анализе устойчивости автографа сначала рассмотрим, как более простой, одноволновой случай, полагая, что выделяемая линия принята за базисную. При изменении длины резонатора от значения $L_{\text{одн}}$ взаимные отстройки линий меняются по закону [5, 8]:

$$\Omega(JJ_0) = (\nu(J) - \nu(J_0)) \frac{L - L_{\text{одн}}}{L_{\text{одн}}}. \quad (3)$$

По достижении некоторого критического значения отстройки $\Omega(JJ_0) = \Omega^*$ одноволновой режим генерации нарушается. Удвоенное значение изменения длины резонатора, приводящего к нарушению одноволнового автографа, примем за диапазон устойчивости (ДУ) одноволнового автографа. В случае жесткой конкуренции ДУ определяется формулой

$$\Delta L = \frac{2\Gamma L_{\text{одн}}}{|\nu(J) - \nu(J_0)|} \left(\sqrt{\frac{\eta(J_0)}{\eta(J)}} - \sqrt{\frac{\eta(J)}{\eta(J_0)}} \right), \quad (4)$$

где Γ — полуширина линии усиления; индексами J_0 и J обозначены первоначально генерирующая линия и линия, генерация на которой появляется при наименьшем изменении длины. В резонаторе с автоколлимационной установкой дифракционной решетки конкуренция линий ослаблена из-за неполного перекрытия полей в лазере и соответствующий ДУ задается выражением [5]

$$\Delta L = \frac{2\Gamma L_{\text{одн}}}{|\nu(J) - \nu(J_0)|} \left\{ (\eta(J_0) - S\eta(J)) \left(\frac{\eta(J_0) - 1}{\eta(J_0)} - \frac{1}{S} \frac{\eta(J) - 1}{\eta(J)} \right) \right\}^{1/2}. \quad (5)$$

Входящий в (5) параметр связи конкурирующих линий S определяется геометрией резонатора и может быть легко найден для конкретных условий в следующем эксперименте. Лазер настраивается в двухволновой режим генерации при равных η , и подстройкой длины резонатора устанавливается такая взаимная отстройка между линиями Ω_0 , при которой зона совместной генерации (переключения) начинается на центре одной линии и заканчивается на центре другой. Используя данные [5], можно показать, что

$$S = 1 - \frac{\Omega_0^2}{\Gamma^2(\eta - 1)}. \quad (6)$$

Экспериментальная проверка (см. рис. 1) показала, что формула (5) позволяет с хорошей точностью прогнозировать величину ДУ.

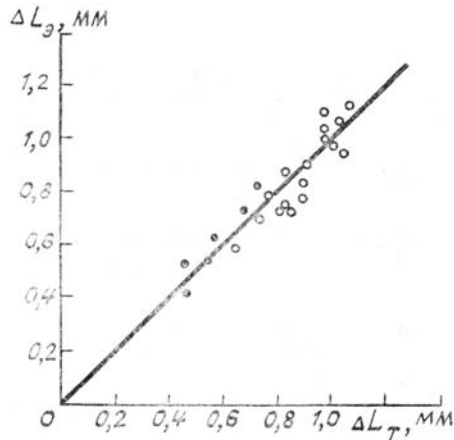


Рис. 1. Сравнение экспериментально измеренных ДУ ΔL_3 одноволнового автографа с ДУ, рассчитанными по (5) ΔL_t ; \circ — P -ветвь, \bullet — R -ветвь

Для получения двухволнового режима генерации на соседних линиях нужно настроить дифракционную решетку резонатора в положение автоколлимации на частоте, промежуточной между частотами выделяемых линий, так, чтобы их превышения были равны, и установить длину резонатора L_{gb} , при которой линии разбиваются на две группы, причем выделяемые линии должны оказаться в различных группах. Далее каждая группа может рассматриваться так же, как в одноволновом случае, и за ДУ двухволнового режима принимается наименьший из ДУ групп. Поскольку согласно (5) величина ДУ определяется разностями частот и превышениями конкурирующих линий, три рассмотренных выше двухволновых автографа, различающихся по составу групп, различаются и по устойчивости. Для определенности рассмотрим получение двухволновых режимов на линиях, расположенных в центре ветви, например $P(18)$ и $P(20)$, выбрав последнюю в качестве базисной линии для расчета длины резонатора. Тогда, в случае $r = q = 1$ рассматриваемые линии согласно табл. 2 попадают в одну группу и нужный режим реализовать не удается. Сопоставляя два других режима, отметим, что при указанном способе настройки резонатора наиболее близкими по превышению к выделяемым линиям будут линии $P(16)$ и $P(22)$, для которых $\eta(16) \approx \eta(22)$. Если в случае $r = 0, q = 1$ с линией $P(20)$ конкурирует линия $P(16)$, то в случае $r = 1, q = 0$ — линия $P(22)$. В силу меньшей разности частот между линиями в последнем случае ДУ должен быть больше, что подтверждается экспериментом.

Таблица 2

Размещение линий в группах двухволновых автографов

Группа	Вращательные числа линий		
	$r=0, q=1$	$r=1, q=0$	$r=1, q=1$
1	$J_0+4\kappa$	$J_0+8\kappa$	$J_0+8\kappa$
2	$J_0+2+4\kappa$	$J_0+2+8\kappa$	$J_0+6+8\kappa$
		$J_0+4+8\kappa$	$J_0+2+8\kappa$
		$J_0+6+8\kappa$	$J_0+4+8\kappa$

На рис. 2 приведены расчетные зависимости ДУ для одно- и двухволновых режимов генерации (в последнем случае для $r = 1, q = 0$) от числа Френеля $N = b^2/\lambda L$, где b — радиус апертуры резонатора. При расчете принято, что полное усиление за два прохода равно 0,35, а эффективность дифракционной решетки составляет 85%. Дифракционные потери для линий, каустики которых расположены под углом к оси резонатора, что характерно для резонаторов с автоколлимационной схемой установки дифракционной решетки, определены из работы [9]. В области малых чисел Френеля кривые на рис. 2 ограничены значениями, при которых линии, конкурирующие с выделяемыми, переходят в подпороговый режим. Поскольку данные [9] позволяют проводить расчеты только для $N \lesssim 1,6$, при сравнении с экспериментальными результатами проведена экстраполяция расчетной зависимости ДУ.

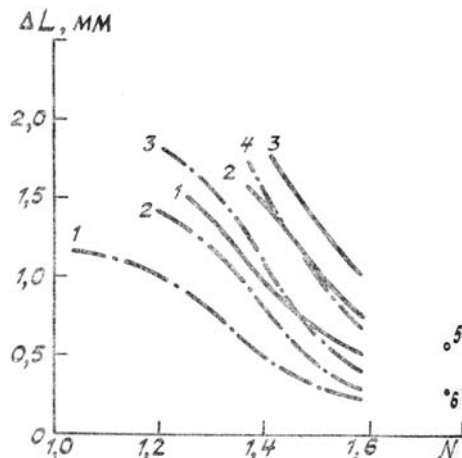


Рис. 2. Зависимость ДУ от числа Френеля для линий R-ветви (1, 3) P-ветви (2, 4) при использовании дифракционных решеток 75 mm^{-1} (1, 2) и 100 mm^{-1} (3, 4). 5 и 6 — значения ДУ, реализованные в ЛУС на линиях P- и R-ветвей соответственно с дифракционной решеткой 75 mm^{-1}

Развитый в работе подход к управлению спектром генерации, положен в основу конструкции лазера с управляемым спектром генерации ЛУС. В ЛУС использован серийный активный элемент ГЛ-502 с внутренним глухим сферическим зеркалом. Резонатор лазера построен по автоколлимационной схеме с выводом излучения в нулевом порядке дифракции через плоское поворотное зеркало, параллельное дифракционной решетке. Для управления спектром генерации длина резонатора изменяется путем перемещения активного элемента относительно неподвижного узла дифракционной решетки. Диапазон изменения длины резонатора ($650 - 830 \text{ mm}$) позволяет проводить настройку в нужный режим генерации для линий с $6 \leq J \leq 40$ во всех ветвях переходов $00^{\circ}1 - 10^{\circ}0$ и $00^{\circ}1 - 02^{\circ}0$ молекулы $^{12}\text{C}^{16}\text{O}_2$. В лазере предусмотрена возможность использования дифракционных решеток 75 или 100 mm^{-1} с диаметром 27 mm . Возможность работы в переключаемом режиме и использование системы АПЧ обеспечивается установкой дифракционной решетки на пьезокорректор КП-1.

Использование эффектов конкуренции линий и зависимости автографа лазера от длины резонатора позволило отказаться в конструкции ЛУС от снижения общего уровня превышения, обычно применяемого для увеличения ДУ. Из рис. 3, на котором показаны уровни дополнительных неселективных потерь, необходимых для обеспечения одноволнового режима генерации, в ЛУС и в лазере с аналогичными параметрами, но без использования описанной методики управления спектром генерации видно, что при больших апертурных размерах резонатора, а также при использовании дифракционных решеток с высоким коэффициентом отражения, ЛУС обеспечивает существенный выигрыш по мощности. При получении одно- или двухволновой генерации на линиях в центре P-ветви перехода $00^{\circ}1 - 10^{\circ}0$ ЛУС обеспечивает мощность $0,9 - 1 \text{ Вт}$ в одномодовом режиме для каждой линии.

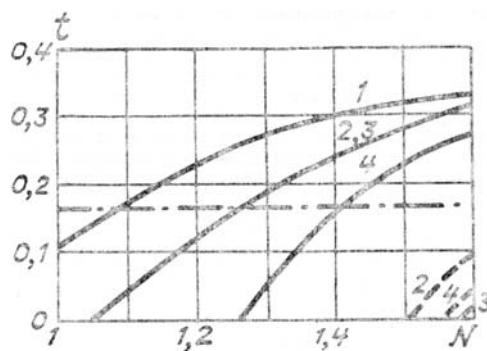


Рис. 3. Дополнительные неселективные потери, которые нужно ввести в резонатор для получения одноволновой генерации на линиях R-ветви (1, 3) и P-ветви (2, 4) при использовании дифракционных решеток 75 mm^{-1} (1, 2) и 100 mm^{-1} (3, 4): пунктир — при установлении одноволновой длины, сплошные линии — без использования описанной методики управления спектром. Для сравнения штрихпунктиром показан реальный уровень потерь в ЛУС

Опыт эксплуатации ЛУС в различных условиях показал, что первоначально установленный спектральный режим генерации не нарушается. ЛУС применялся в двух макетах ЛГА ДП. На двухканальном кюветном ЛГА ДП была получена стабильность нулевых показаний $1,7 \cdot 10^{-4}$ за час, что позволяет проводить измерение концентраций аммиака с погрешностью $0,2 \text{ млн}^{-1}$. Применение ЛУС в ЛГА ДП «Трасса» описано в [10].

1. Андреев Ю.М., Гейко П.П., Грибенюков А.И. и др. //Оптика атмосферы. 1988. Т. 1. № 3. С. 20–26.
2. Герасимчук А.Г., Корнилов С.Т., Проценко Е.Д. //Квантовая электроника. 1982. Т. 9. № 1. С. 169–171.
3. Колосовский О.А. //В сб.: Электронная техника. Сер. Электроника СВЧ. 1970. № 9. С. 93–98.
4. Vi holz N. //IEEE J. Quant. Electr. 1982. V. QE-18. № 9. Р. 1326–1331.
5. Коваль А.К., Миронов В.Д. //В сб.: Лазерные абсорбционные методы анализа микроконцентраций газов. М.: Энергоатомиздат. 1984. С. 39–46.
6. Коваль А.К., Миронов В.Д. //Квантовая электроника. 1985. Т. 12. № 11. С. 2324–2331.
7. Freed C., Bradley L.C., O'Donnell R.C. //IEEE J. Quant. Electr. 1980. V. QE-16. № 11. Р. 1195–1206.
8. Корнилов С.Т., Проценко Е.Д., Чириков С.Н. //Квантовая электроника. 1984. Т. 11. № 6. С. 1225–1229.
9. Вельтигов В.Н., Очкин В.Н., Соболев Н.Н. и др. Лазерные резонаторы с дифракционными решетками в автоколлимационном режиме. М., 1984, 41 с. (Препринт/ФИАН, № 37).
10. Ануфриев Э.В., Бирюлин В.П., Коваль А.К. и др. //Оптика атмосферы. 1988. Т. 1. № 12. С. 42–46.

Московский инженерно-физический институт

Поступила в редакцию
16 августа 1988 г.

A. K. Koval', V. D. Mironov. Oscillation Spectrum Controlled CO₂-laser for Differential Absorption Gas Analyser.

The paper is concerned with the method of CO₂-laser spectrum control based on rotovibrational lines competition and laser signature dependence on cavity length. The method gives an advantage of the more full utilization of active medium energetic potentialities. A laser signature stability range have been studied experimentally and theoretically, and both results agree well. Design of the LUS type CO₂-laser (LUS is Russian abbreviation for Spectrum Controlled Laser) and LUS applications in atmospheric differential absorption spectrometry are briefly reported.